



دانشگاه مازندران  
دانشکده فنی مهندسی

موضوع:

مطالعه تجربی و شبیه سازی عددی تاثیر منحنی فشار سیال بر  
حسب کورس سنبله در شکل دهی لوله های استوانه ای پله ای  
به روش هیدروفرمینگ

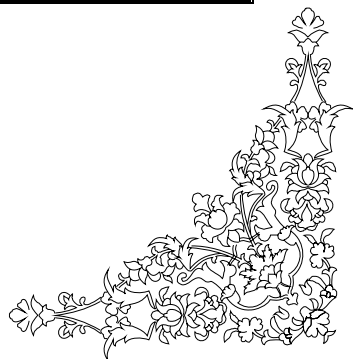
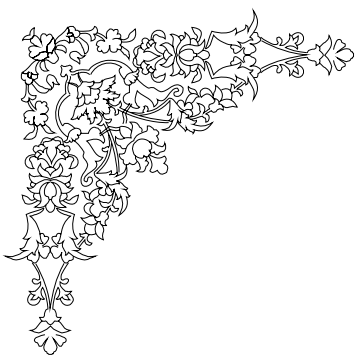
جهت اخذ درجه کارشناسی ارشد  
رشته مهندسی مکانیک - گرایش ساخت و تولید

استاد راهنما :  
دکتر محمد بخشی جویباری

اساتید مشاور:  
مهندس عبد الحمید گرجی  
مهندس قربان محمد علی نژاد

نگارش:  
پویا ذوقی پور

زمستان ۸۸



تقدیم به مهربان فرشتگانی که

لحظات ناب باور بودن، لذت و غرور دانستن، جسارت خواستن، شکوه توanstن، عظمت رسیدن و قیام تجربه های یکتا و زیبای زندگیم، مدیون حضور آنهاست.

# پ در عزیزم و مادرم مهربانم

فروغ نگاهتان، گرمی کلامتان و روشنایی رویتان سرمايه جاودانه زندگی ام است. وجودتان برایم بزرگترین لطف الهی و وجودم برایتان همه رنج و زحمت بوده است. توانتان رفت تا به توانایی برسم موهایتان سپید شد تا روسپید باشم. ارج مینهم زحماتتان را که وجودتان پشتوانه و تلاشتان موجب سربلندی ام است. اکنون که به اینجا رسیده ام، همه موفقیتهايم را اول لطف خداوند و سپس از شما میدانم.

## قدرتانی

حمد و سپاس شایسته پروردگاریست که بشر را قدرت تفکر و تحصیل علم چشید. اینک که در سایه پرتو الطاف و عنایات خداوند سبحان، موفق به انجام پایاننامه مقطع کارشناسی ارشد شده ام، برخود لازم می‌دانم تا از زمینات استادی عزیز و گرانقدر دانشکده مهندسی مکانیک، بخصوص جناب آقای دکتر محمد جخشی که با تلاش‌های بی‌شائبه خود نه تنها در انجام این پایاننامه بلکه در تمام دوره تحصیلم مرا یاری نمودند و نیز استاد مشاور، آقایان مهندس عبدالحمید گرجی و مهندس قربان علی نژاد، صمیمانه تشکر و قدردانی نمایم. همچنین از استادی گرامی آقایان دکتر حسن شاکری و دکتر حمید باصری که زحمت داوری این پایان نامه را تقبل نمودند بى نهايت سپاسگزارم. از خداوند منان، سلامتی و موفقیت روزافزون را برای این بزرگواران خواهانم.



*Faculty of Mechanical Engineering  
Mazandaran University*

*M. S. Dissertation  
Mechanical Engineering-Manufacturing and Production*

Title:  
*Experimental study and numerical simulation of the effect of loading path curve on forming the cylindrical stepped tube with hydroforming process*

*Supervisor:*  
**Dr. M. Bakhshi Jooybari**

*Advisors:*  
**lecturer. A. Gorji**  
**lecturer. G.M. Alinezhad**

*Writer:*  
**P. Zoghi pour**

**Winter 2010**

## چکیده

فرآیند هیدروفرمینگ لوله جزء فرآیندهای نوین شکل دهی فلزات می باشد. از آنجا که امروزه کاهش وزن قطعات، تولید در کوتاهترین زمان ممکن و کاهش هزینه ها و مراحل تولیدی با رعایت کیفیت بالا جزء اهداف شرکت های تولیدی است، استفاده از این روش در صنایع مختلفی مانند خودروسازی، هواپما و نظامی در دستور کار قرار گرفته است.

در این پایان نامه، فرآیند هیدروفرمینگ لوله، به عنوان اصلی ترین روش تولید لوله های پله ای مورد بررسی قرار گرفته است. در ادامه، به کمک روش اجزای محدود فرآیند تولید لوله های پله ای در نرم افزار "Abaqus\Explicit" شبیه سازی شده است. به منظور راسته آزمایی نتایج حاصل از شبیه سازی عددی، آزمایش های تجربی انجام شد. مطابقت نتایج حاصله از آزمایش های تجربی با شبیه سازی، درستی نتایج حاصل از شبیه سازی را تایید نموده است.

مسیر فشار به عنوان مهم ترین پارامتر در تولید لوله های پله ای استوانه ای می باشد. در صورت اعمال فشار نامناسب بر حسب کورس سنبله، امکان بروز عیوبی از قبیل پارگی یا چروکیدگی در لوله وجود بوجود خواهد آمد. در طی بررسی نتایج بدست آمده از تاثیر مسیر فشار بر شکل هندسی و توزیع ضخامت در تولید لوله های پله ای مشخص گردید که جهت بدست آوردن یک قطعه بدون عیب با ابعاد و تلرانس های مورد نیاز و نسبت انبساط مطلوب با توزیع ضخامت قابل قبول، انتخاب مسیر فشار بر حسب تغذیه محوری بسیار مهم می باشد. در این پژوهش امکان دستیابی به پر شدگی کامل گوشه قالب مورد استفاده، در اثر انتخاب مناسب مسیر فشار و مکانیزم قالب میسر گردید.

## **Abstract**

Tube Hydroforming is one of the newest methods of metal forming processes. The usage of this technology has been increased in industries such as automotive, aerospace and military industries due to weight reduction, reducing cycle time and costs with maintaining high quality of products.

In this thesis, the Tube Hydroforming process as the main method of producing stepped tubes, has been focused on. Then the 3D finite element simulation software, Abaqus/Explicit has been used to simulate the process.

In order to validate the simulation results, experiments were performed. The correlation between the results verified the validity of the simulation results.

The pressure path is the main significant factor in producing cylindrical stepped tubes. Applying improper pressure path causes appearance of defects such as wrinkling or tearing.

During the investigation of the effect of pressure path on geometry shape and, thickness distribution and die of steeped tubes, it was realized that in order to gain a sound part with desired tolerances, expansion ratio and logical thickness reduction, the selection of the pressure path is very important.

In this research, obtaining a fully filled die corner was possible by selecting an appropriate pressure path and proper die mechanism.

# فهرست مطالب

۱	.....	فصل ۱ مقدمه
۱	.....	۱-۱ مقدمه
۱	.....	۲-۱ معرفی لوله‌های پله‌ای فلزی
۳	.....	۳-۱ دسته بندی روش‌های متداول تولید لوله‌های پله‌ای
۳	.....	۱-۳-۱ روش پرس کاری
۴	.....	۲-۳-۱ روش اسپینینگ
۵	.....	۳-۳-۱ فرآیندهای تولید با ابزارنرم
۵	.....	۴-۱ هیدرو فرمینگ
۶	.....	۱-۴-۱ هیدرو فرمینگ لوله
۸	.....	۱-۵ پیشینه تحقیقات صورت گرفته در زمینه هیدرو فرمینگ لوله
۱۸	.....	۱-۶ پیشینه تحقیقات صورت گرفته در زمینه اثر مسیر فشار بر هیدرو فرمینگ لوله
۲۴	.....	۱-۷ مروری بر پایان نامه
۲۶	.....	فصل ۲ کارهای آزمایشگاهی
۲۶	.....	۱-۲ مقدمه
۲۶	.....	۲-۲ تجهیزات استفاده شده در فرآیند هیدرو فرمینگ برای تولید لوله پله‌ای
۲۶	.....	۱-۲-۱ پرس انجیورسال به همراه تجهیزات جانبی
۲۷	.....	۲-۲-۱ تجهیزات هیدرولیک
۳۰	.....	۳-۲ جزئیات قالب‌ها و مراحل ساخت آن
۳۴	.....	۴-۲ خواص لوله بکار گرفته شده
۳۶	.....	۵-۲ مراحل آزمایشگاهی
۳۹	.....	۶-۲ اندازه‌گیری ابعاد قطعات
۴۱	.....	فصل ۳ شبیه سازی اجزای محدود
۴۲	.....	۱-۳ مقدمه
۴۲	.....	۲-۳ مراحل محیط‌های مدل سازی اجزای محدود نرم افزار ABAQUS 6.8
۴۲	.....	۱-۲-۳ مدلسازی سه بعدی لوله و اجزای قالب در محیط ایجاد قطعه (Part)
۴۳	.....	۲-۲-۳ تعریف خصوصیات لوله در محیط (Property).
۴۵	.....	۳-۲-۳ مونتاژ لوله و اجزای قالب در محیط سرهم سازی (Assembly)
۴۵	.....	۴-۲-۳ تعریف تعداد مراحل و نوع حل مساله در محیط (Step)
۴۶	.....	۵-۲-۳ تعریف نوع تماس سطوح اجزا با هم (Interaction)
۴۶	.....	۶-۲-۳ تعریف فشار داخل لوله و شرایط مرزی در محیط (Load)
۴۸	.....	۷-۲-۳ شبکه بندی مدل در محیط (Mesh)
۴۹	.....	۸-۲-۳ حل مساله در محیط

## فصل ۴ نتایج و بحث.....

۵۱	..... ۱-۴ مقدمه
۵۱	..... ۲-۴ معرفی عیوب ایجاد شده در فرآیند هیدروفرمینگ لوله‌های پله‌ای
۵۱	..... ۱-۲-۴ کمانش
۵۴	..... ۲-۲-۴ پارگی
۵۵	..... ۳-۲-۴ فولدینگ (چروکیدگی گوشه داخلی)
۵۶	..... ۴-۲-۴ گوشه پر نشده
۵۷	..... ۳-۴ بررسی نیروی لازم برای شکل دهی به روش شبیه سازی و تجربی
۵۹	..... ۴-۴ تاثیر مسیر فشار بر شکل هندسی لوله های پله‌ای
۵۹	..... ۱-۴-۴ بررسی اثر مسیر فشار در مرحله بالج بر شکل هندسی
۶۲	..... ۲-۴-۴ بررسی اثر مسیر فشار در مرحله کالیبراسیون بر شکل هندسی
۷۰	..... ۵-۴ بررسی توزیع ضخامت لوله های پله‌ای
۷۰	..... ۱-۵-۴ توزیع ضخامت در مرحله بالج
۷۲	..... ۲-۵-۴ توزیع ضخامت در مرحله نهایی (کالیبراسیون)
۷۸	..... ۳-۵-۴ افزایش قابلیت شکل پذیری با حذف چروک ها در ناحیه انبساط

## فصل ۵ نتیجه‌گیری و پیشنهادات.....

۸۰	..... ۱-۵ نتیجه‌گیری
۸۲	..... ۲-۵ پیشنهادات

..... منابع و مراجع
..... پیوست

# فرست شکل ها

## فصل ۱ مقدمه

۲	..... شکل ۱-۱ نمونه های ساده ای از قطعات پله ای شکل داده شده با روش هیدروفرمینگ لوله
۲	..... شکل ۲-۱ نمونه های پیچیده ای از قطعات پله ای شکل داده شده با روش هیدروفرمینگ لوله [1]
۳	..... شکل ۳-۱ شکل دهی لوله های پله ای استوانه ای با استفاده از روش پرسکاری در قالب های چند تکه [2]
۴	..... شکل ۱-۴ نمونه از قطعه پله ای شکل داده شده با روش اسپینینگ [2]
۷	..... شکل ۱-۵ مرا حل هیدروفرمینگ لوله [7]
۹	..... شکل ۱-۶ قاب شاسی موتور خودرو تولید شده به روش هیدروفرمینگ لوله [17]
۱۱	..... شکل ۱-۷ تجهیزات آزمایش بالج [20]
۱۲	..... شکل ۱-۸ وضعیت توزیع تنش در روی بیضی تسلیم برای هیدروفرمینگ لوله [22]
۱۳	..... شکل ۱-۹ اثر شرایط مختلف شکل دهی بر تغییرات فشار در فرآیند هیدروفرمینگ بالج آزاد [24]
۱۵	..... شکل ۱-۱۰ شماتیک مدل تحلیلی در حین انبساط لوله در قالب مربعی الف) قبل از انبساط
۱۷	..... شکل ۱-۱۱ گسترش پنجره شکل دهی در فرآیند هیدروفرمینگ لوله با ایجاد چروک مفید [29]
۱۷	..... شکل ۱-۱۲ توزیع ضخامت در راستای محوری (الف) شبیه سازی (ب) تجربی [28]
۱۹	..... شکل ۱-۱۳ مسیر فشار طراحی شده توسط ریمکوس و همکاران [31]
۲۰	..... شکل ۱-۱۴ قطعات تولید شده با مسیر فشارهای با تغذیه محوری و بدون تغذیه محوری
۲۱	..... شکل ۱-۱۵ قطعات به دست آمده از آزمایش برای فشارهای ثابت و نوسانی [36]
۲۲	..... شکل ۱-۱۶ مقایسه ای از گوشه پرشده قالب تحت اثر مسیر فشارهای متفاوت [37]
۲۳	..... شکل ۱-۱۷ مسیرهای فشار مورد بررسی توسط هاما و همکارانش

## فصل ۲ کارهای آزمایشگاهی

۲۷	..... شکل ۲-۱ پرس انیورسال با مجموعه قالب سوار شده بر روی آن
۲۸	..... شکل ۲-۲ دستگاه تولید کننده فشار هیدرولیکی
۲۹	..... شکل ۲-۳ شمای ساده شده مدار هیدرولیک
۳۰	..... شکل ۲-۴ شیرکنترل فشار و شیریک طرفه به همراه اتصالات هیدرولیک
۳۱	..... شکل ۲-۵ شماتیک قالب متداول هیدروفرمینگ لوله پله ای استوانه ای
۳۱	..... شکل ۲-۶ شماتیک قالب هیدروفرمینگ جدید
۳۲	..... شکل ۲-۷ اجزای قالب هیدروفرمینگ جدید
۳۵	..... شکل ۲-۸ دستگاه کشش Zwick \ Z100

۳۵	..... شکل ۹-۲ ابعاد نمونه آزمون کشش و چگونگی قرارگیری آن در فک ها.
۳۶	..... شکل ۱۰-۲ نمودار تنش - کرنش مهندسی لوله فولادی زنگ نزن SS316l
۳۷	..... شکل ۱۱-۲ مسیر فشار نوعی مورد استفاده در شبیه سازی و آزمایشات تجربی.
۳۷	..... شکل ۱۲-۲ فاصله بین دو بوش قبل از انجام فرآیند و طول پله حاصله بعد از انجام فرآیند.
۳۸	..... شکل ۱۳-۲ شماتیک مراحل شکل دهی لوله در قالب جدید (الف) مرحله بالج (ب) مرحله کالیبراسیون.
۳۸	..... شکل ۱۴-۲ قطعات پله ای تولید شده در قالب جدید هیدروفرمینگ.
۳۹	..... شکل ۱۵-۲ ضخامت سنج التراسونیک با تجهیزات جانبی برای اندازه گیری ضخامت.
۴۰	..... شکل ۱۶-۲ طریقه اندازه گیری الف- شعاع خارجی قطعات ب- طول پله قطعات.

### فصل ۳ شبیه سازی اجزای محدود

۴۴	..... شکل ۳-۱ مدل سه بعدی نیمی از لوله در محیط ایجاد قطعه (Part) در نرم افزار ABAQUS
۴۴	..... شکل ۳-۲ منحنی تنش - کرنش حقیقی لوله مورد استفاده در آزمایشات.
۴۵	..... شکل ۳-۳ استقرار قطعات در محل مناسب.
۴۷	..... شکل ۳-۴ شرایط مرزی تعریف شده برای مدلسازی اجزای محدود فرآیند هیدروفرمینگ لوله پله ای استوانه ای.
۴۹	..... شکل ۳-۵ شبکه بندی لوله در داخل قالب بوسیله المان پوسته ای در داخل نرم افزار ABAQUS
۵۰	..... شکل ۳-۶ مسیر تعریف شده برای اندازه گیری پارامترها.

### فصل ۴ نتایج و بحث

۵۳	..... شکل ۴-۱ کمانش ستونی لوله (الف) تجربی (ب) شبیه سازی.
۵۴	..... شکل ۴-۲ نمونه ای از قطعات چروک خورده در فرآیند هیدروفرمینگ لوله.
۵۴	..... شکل ۴-۳ پارگی ایجاد شده در قطعات در مراحل بالج و کالیبراسیون.
۵۶	..... شکل ۴-۴ مقایسه گوشه بدست آمده توسط دو قالب هیدروفرمینگ جدید و سنتی.
۵۶	..... شکل ۴-۵ لوله پله ای استوانه ای با گوشه گرد کامل پر نشده.
۵۸	..... شکل ۴-۶ تغییرات نیروی شکل دهی قطعه سالم بر حسب کورس سنبه بدست آمده از شبیه سازی و تجربی، سطح فشار داخلی ۲۰ MPa و کورس سنبه ۳۰ mm.
۵۸	..... شکل ۷-۴ تغییرات نیروی شکل دهی قطعه چروک یده بر حسب کورس سنبه بدست آمده از شبیه سازی و تجربی، سطح فشار داخلی ۱۸ MPa و کورس سنبه ۳۰ mm.
۶۰	..... شکل ۸-۴ لوله تغییر شکل یافته در فشار بالج ۱۸ MPa بصورت تجربی و شبیه سازی.
۶۰	..... شکل ۹-۴ لوله تغییر شکل یافته در فشار بالج ۱۹ MPa بصورت تجربی و شبیه سازی.
۶۰	..... شکل ۱۰-۴ لوله تغییر شکل یافته در فشار بالج ۲۰ MPa بصورت تجربی و شبیه سازی.
۶۱	..... شکل ۱۱-۴ لوله تغییر شکل یافته در فشار بالج ۲۱ MPa بصورت تجربی و شبیه سازی.
۶۱	..... شکل ۱۲-۴ لوله تغییر شکل یافته در فشار بالج ۲۲ MPa بصورت تجربی و شبیه سازی.
۶۱	..... شکل ۱۳-۴ منحنی تغییرات قطر بیشینه ناحیه بالج بر حسب فشار داخلی سیال.
۶۲	..... شکل ۱۴-۴ کانتور کرنش پلاستیک در لحظه پارگی در فشار ۲۲ MPa در قطعه کار.

..... شکل ۱۵-۴ مقایسه بین پروفیل های لوله در مرحله کالیبراسیون در کورس سننه ۱۰ mm بدست آمده با شبیه سازی.....

..... شکل ۱۶-۴ مقایسه بین پروفیل های لوله در مرحله کالیبراسیون در کورس سننه ۲۰ mm بدست آمده با شبیه سازی.....

..... شکل ۱۷-۴ مقایسه بین پروفیل های لوله در مرحله کالیبراسیون در کورس سننه ۳۰ mm بدست آمده با شبیه سازی.....

..... شکل ۱۸-۴ مقایسه بین پروفیل های لوله در مرحله کالیبراسیون برای فشارهای ۱۸ و ۱۹ MPa در کورس سننه ۴۰ mm بدست آمده با شبیه سازی.....

..... شکل ۱۹-۴ مقایسه بین پروفیل های لوله در مرحله کالیبراسیون برای فشارهای ۱۹ و ۲۰ MPa در کورس سننه ۴۰ mm بدست آمده با شبیه سازی.....

..... شکل ۲۰-۴ مقایسه بین پروفیل های لوله در مرحله کالیبراسیون در کورس سننه ۳۰ mm با شبیه سازی و تجربی.....

..... شکل ۲۱-۴ لوله تغییر شکل یافته در فشار کالیبراسیون ۱۸ MPa بصورت تجربی و شبیه سازی.....

..... شکل ۲۲-۴ لوله تغییر شکل یافته در فشار کالیبراسیون ۱۹ MPa بصورت تجربی و شبیه سازی.....

..... شکل ۲۳-۴ لوله تغییر شکل یافته در فشار کالیبراسیون ۲۰ MPa بصورت تجربی و شبیه سازی.....

..... شکل ۲۴-۴ لوله تغییر شکل یافته در فشار کالیبراسیون ۲۱ MPa بصورت تجربی و شبیه سازی.....

..... شکل ۲۵-۴ نواحی مختلف منحنی توزیع ضخامت لوله.....

..... شکل ۲۶-۴ منحنی های توزیع ضخامت حاصل از شبیه سازی در مرحله بالج برای فشارهای ۱۸ ، ۱۹ ، ۲۰ ..... ۲۲ MPa و ۲۱

..... شکل ۲۷-۴ نتایج شبیه سازی و تجربی توزیع ضخامت در مرحله بالج را برای فشارهای ۲۱ ، ۱۸ و ۲۰ ..... ۲۲ MPa

..... شکل ۲۸-۴ مقایسه منحنی های توزیع ضخامت لوله در مرحله کالیبراسیون در کورس سننه ۱۰ mm بدست آمده با شبیه سازی برای فشارهای ۱۸ ، ۱۹ ، ۲۰ و ۲۱ MPa

..... شکل ۲۹-۴ مقایسه منحنی های توزیع ضخامت لوله در مرحله کالیبراسیون در کورس سننه ۲۰ mm بدست آمده با شبیه سازی برای فشارهای ۱۸ ، ۱۹ ، ۲۰ و ۲۱ MPa

..... شکل ۳۰-۴ مقایسه منحنی های توزیع ضخامت لوله در مرحله کالیبراسیون در کورس سننه ۳۰ mm بدست آمده با شبیه سازی برای فشارهای ۱۸ ، ۱۹ ، ۲۰ و ۲۱ MPa

..... شکل ۳۱-۴ مقایسه منحنی های توزیع ضخامت لوله در مرحله کالیبراسیون در کورس سننه ۴۰ mm بدست آمده با شبیه سازی برای فشارهای ۱۸ ، ۱۹ ، ۲۰ و ۲۱ MPa

..... شکل ۳۲-۴ توزیع ضخامت لوله شکل داده شده در مرحله کالیبراسیون برای فشار ۲۰ MPa

..... شکل ۳۳-۴ توزیع ضخامت لوله شکل داده شده در مرحله کالیبراسیون برای فشار ۲۱ MPa

..... شکل ۳۴-۴ اختلاف مقدار برآمدگی و فرو رفتگی در ناحیه انبساط.....

# فهرست جداول

## فصل ۲ مراحل آزمایشگاهی

۲۸	جدول ۱-۲ مشخصات روغن بابک [41]
۳۴	جدول ۲-۲ ترکیب شیمیایی لوله فولادی زنگ نزن

## فصل ۳ شبیه‌سازی اجزای محدود

۴۴	جدول ۱-۳ خصوصیات مکانیکی فولاد SS316L
----	---------------------------------------

# نهرست ماده

$t$	ضخامت اولیه لوله
$L$	طول آزاد لوله
$E$	مدول الاستیک ماده
$v$	ضریب پواسون
$S_y$	تنش تسلیم لوله
$\rho$	دانسیته لوله
$I$	ممان اینرسی
$F_{cr}$	نیروی بحرانی کمانش
$C$	شرایط درگیری دو انتهای لوله
$R$	شعاع لوله
$\sigma_{cr}$	تنش بحرانی کمانش
$h_{\max}$	ماکزیمم مقدار ارتفاع برآمدگی در ناحیه انبساط
$h_{\min}$	مینیمم مقدار ارتفاع فرورفتگی در ناحیه انبساط

## ۱-۱ مقدمه

با پیشرفت روز افزون تکنولوژی و رقابت بازار تجارت، صنایع خودروسازی به سمت کاهش هزینه و زمان تولید و عرضه محصولات سبک تر و کم مصرف تر با کیفیت بالاتر و سیستم انعطاف پذیر تولید روی آورده اند. فرآیند هیدروفرمینگ یا شکل دهی با فشار سیال از فرآیندهای نوین در شکل دهی می باشد. استفاده از این فن آوری در راستای کاهش مراحل تولید قطعات و به خصوص حذف مراحل جوشکاری در قطعات با اشکال پیچیده در دستور کار تولید کنندگان صنایع بزرگ قرار گرفته است. امروزه توجه خاص به مسائل زیست محیطی بهینه سازی مصرف انرژی و رقابت پذیری سبب شده تا تولید کنندگان قطعات نیازهای مشتری را در اولویت قرار داده تا بتوانند در بازار رقابتی امروز بقا یابند. همچنین پیشرفت تکنولوژی و ماشین آلات تولیدی و سیستم های آب بندی و فرآیندهای کنترل کامپیوتری سبب شده است تا صنایع خودروسازی و هوا فضا استفاده شایانی را از هیدروفرمینگ به عنوان یک روش شکل دهی داشته باشند. در این فصل ابتدا تعریفی از لوله های پله ای و کاربرد آنها ارائه شده و سپس با اشاره به روش های تولید لوله های پله ای به جایگاه صنعت هیدروفرمینگ در بین آنها اشاره می شود و در خاتمه این فصل مروری در پیرامون فرآیند هیدروفرمینگ مورد استفاده در تولید قطعات پله ای، تاریخچه آن و اهداف و ویژگی های پایان نامه ارائه خواهد شد.

## ۲-۱ معرفی لوله های پله ای فلزی

لوله های فلزی با شکل های مختلف کاربرد بسیار زیادی در صنایع نظامی، تاسیساتی، خودروسازی و دیگر صنایع دارند. لوله های پله ای نیز از جمله قطعات تولید شده با فرآیند هیدروفرمینگ است که در صنایعی مانند صنایع تاسیسات، صنایع خودروسازی، صنایع پتروشیمی و صنایع دفاعی کاربرد دارند. این لوله ها دارای شکل های دایره ای، چهار گوش، مخروطی و نظایر آنها می باشد که در شکل (۱-۱) نمونه هایی از آنها نشان داده شده است.



شکل (۱-۱) نمونه‌های ساده‌ای از قطعات پلهای شکل داده شده با روش هیدروفرمینگ لوله

حالت‌های پیچیده‌تر این قطعات مانند منیفولد اگزوژ، میل لنگ، اکسل و شاسی خودرو یا اتصالاتی نظیر سه راهی‌ها و لوله‌های کنگره‌ای در شکل (۲-۱) نشان داده شده است.



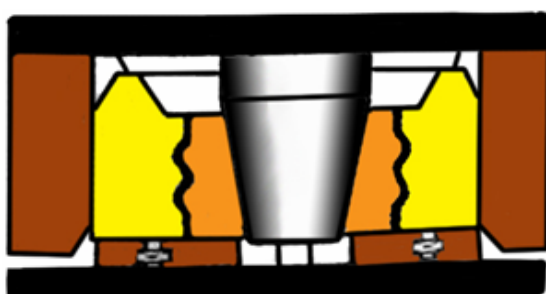
شکل (۲-۱) نمونه‌های پیچیده‌ای از قطعات پلهای شکل داده شده با روش هیدروفرمینگ لوله [1]

### ۱-۳ دسته بندی روش‌های متداول تولید لوله‌های پله‌ای

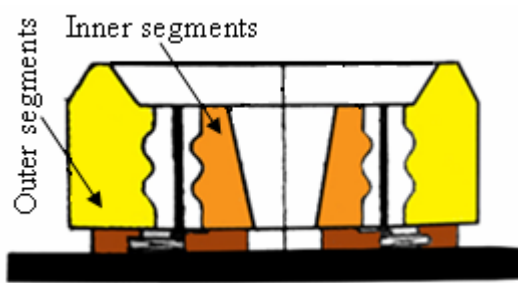
روش‌های تولید لوله‌های پله‌ای بطور کلی به دو دسته روش‌های سنتی و روش‌های نوین تقسیم می‌شوند، در روش‌های سنتی تمام لوله‌پله‌ای و یا قسمتی از آن عمدتاً با روش‌هایی مانند پرس کاری، اسپینینگ و یا سایر روش‌های شکل دهنده و سپس با پس عملیات مونتاژی نظیر جوشکاری به هم متصل می‌شوند. در ادامه هر یک از روش‌های سنتی مذکور توضیح داده خواهد شد.

#### ۱-۳-۱ روش پرس کاری<sup>۱</sup>

روش متداولی که برای ایجاد شکل‌ها در دیواره لوله‌ها و پوسته‌ها مورد استفاده قرار می‌گیرد پرس کاری می‌باشد. در این روش در طی عملیات با پایین آمدن کوبه پرس اجزای شکل دهنده خارجی در راستای شعاعی منقبض می‌گردند و اجزای شکل دهنده داخلی توسط سنبله نوک تیز شیب دار بطرف بیرون حرکت و قطعه را در روی دیواره اجزای خارجی شکل می‌دهند. با بالا رفتن پرس این اجزا توسط فنرها بجای اولیه خود بر می‌گردند. مهمترین عیب این روش آن است که فضای خالی بین اجزای شکل دهنده، نیاز به در آوردن، چرخاندن و دوباره پرس کردن قطعه کار جهت از بین بردن اثر فضای خالی در این روش دارد [2].



(ب) موقعیت فرم دهی



(الف) موقعیت بارگیری (قرار گرفتن قطعه در قالب)

شکل (۱-۳) شکل دهی لوله‌های پله‌ای استوانه‌ای با استفاده از روش پرسکاری در قالب‌های چند تکه [2]

<sup>۱</sup> Pressing

## ۱-۳-۲ روش اسپینینگ<sup>۱</sup>

اسپینینگ روشی برای کاهش ضخامت دیواره لوله و شکل دهی آن به فرم های متقارن محوری با اعمال دوران و فشار است. کاربرد این روش بیشتر برای صنایع هوا فضا می باشد. اسپینینگ علی رغم مزایایی همچون امکان تولید قطعات با شکل های خاص، یکپارچگی قطعه کار و تغییر تدریجی و یکنواخت ضخامت قطعه کار دارای عیب اصلی محدودیت در تولید لوله ها با مقطع غیر دوار نامتقارن محوری است. شکل (۴-۱) نمونه ای از لوله پله ای بدست آمده با روش اسپینینگ را نشان می دهد

[2]



شکل(۴-۱) نمونه از قطعه پله ای شکل داده شده با روش اسپینینگ [2]

علاوه بر معایب یاد شده برای هریک از روش‌های سنتی تولید لوله های پله ای شرح داده شده در بالا، همانطور که بیان گردید در روش‌های سنتی تولید لوله های پله ای، پس از تولید پله ها برای مونتاژ پله ها به یکدیگر و یا تولید لوله های پله ای با سطوح مقاطع متفاوت که امکان تولید آنها در یک قالب وجود ندارد، از جوشکاری استفاده می شود. جوشکاری، موجب تغییر خواص ماده، بوجود آمدن تنفس های پسماند، اعوجاج در قطعه، هزینه های اضافی قید و بند، افزایش دور ریز مواد و افزایش وزن قطعه کار به علت عدم یکپارچگی می شود.

بدون شک، هدف اصلی و عامل اساسی گسترش اصول فرآیندهای شکل دهی فلزات، تولید قطعات با خواص مکانیکی، کیفیت سطوح و دقیق ابعادی مطلوب، صرفه جویی در انرژی و مواد اولیه، افزایش بازدهی با کاهش هر چه بیشتر عملیات بعدی، کاهش عملیات نهایی روی محصول و در نتیجه کاهش هزینه های جنبی تولید برای کسب توانایی رقابت در عرصه تجارت جهانی است [3].

<sup>۱</sup> Spinning

با در نظر گرفتن معایب ذکر شده برای روش‌های سنتی فوق، محققان و صنعتگران جهت کاهش هزینه و زمان تولید و همچنین تولید محصولاتی سبکتر، کم مصرف‌تر و باکیفیت بالاتر به سمت فرآیندهای تولیدی نوین شکل دهی روی آوردنده‌اند. یکی از این فرآیندها که امروز به شدت توجه تولید کنندگان را به خود جلب نموده، استفاده از محیط‌های انعطاف‌پذیر در تولید قطعات توخالی و پیچیده است.

### ۱-۳-۳ فرآیندهای تولید با ابزار نرم<sup>۱</sup>

در این فرآیندها در کنار مواد صلب که به عنوان اجزاء قالب، از مواد غیر صلب و انعطاف‌پذیر نیز استفاده می‌شود. این نوع فرآیندها را می‌توان براساس حالت ماده غیر صلب به سه دسته عمده تقسیم کرد:

۱- حالت جامد: مانند استفاده از قطعات لاستیکی در قالب

۲- حالت مایع: فرآیندهای هیدروفرمینگ با سیال مایع مانند هیدرو فرمینگ لوله

۳- حالت گاز: فرآیندهای هیدروفرمینگ با سیال گاز مانند شکل دهی سوپر پلاستیک‌ها به وسیله گاز

DAG [4]

در حال حاضر اکثر لوله‌های پله‌ای با مقاطع توخالی بدون جوش با روش هیدروفرمینگ شکل داده می‌شوند.

### ۱-۴ هیدروفرمینگ

هیدروفرمینگ تکنولوژی است که از فشار سیال جهت شکل دهی بلنک‌های فلزی به هندسه‌های مطلوب استفاده می‌کند. با استفاده از فشار یکنواخت سیال که روی کل سطح قطعه توزیع می‌شود، قطعه‌ای با خواص مکانیکی خوب بدست می‌آید. از جمله مزایای دیگر هیدرو فرمینگ می‌توان به قابلیت تولید قطعات پیچیده، دقت ابعادی بهتر و شکل دهی موادی که قابلیت شکل دهی کمی دارند، اشاره کرد [5].

<sup>۱</sup> Soft-Tool forming

در حالت کلی هیدرو فرمینگ را می توان به دو دسته تقسیم کرد:

هیدرو فرمینگ لوله<sup>۱</sup> و هیدرو فرمینگ ورق<sup>۲</sup> [5].

### ۱-۴-۱ هیدرو فرمینگ لوله

چنانچه از فرآیند هیدروفرمینگ برای شکل دهی بلنک های با مقاطع لوله ای استفاده شود به آن فرآیند هیدرو فرمینگ لوله اطلاق می گردد [6]. چرخه فرآیند هیدروفرمینگ لوله در شکل (۱-۵) نشان داده شده است. ابتدا یک قطعه لوله ای شکل خام یا پیش فرم داده شده درون قالب قرار می گیرد و سپس بعد از بسته شدن قالب، سنبه های آب بندی بصورت هیدرولیکی پیش رانده شده دو انتهای لوله را به گونه ای که بطور کامل آب بندی نشود، می پوشانند. بلا فاصله سیال توسط پمپ به درون لوله تزریق می شود. در این حین هوا از فاصله کوچک بین سنبه ها و لوله خارج می شود. وقتی لوله پر شد، سنبه ها آب بندی را کامل می کنند و افزایش فشار آغاز می شود. همزمان با آن، تغذیه محوری اعمال می شود و با حرکت کنترل شده سنبه ها مواد به داخل قالب رانده شده و قطعه شکل می گیرد. اعمال تغذیه مواد به داخل قالب می تواند از یک طرف و یا چند جهت انجام گیرد. در مرحله بعد وقتی قطعه تا حدودی شکل گرفت، فشار داخلی افزایش یافته، مرحله شکل گیری نهایی انجام می شود. این مرحله برای کامل کردن شعاع های کوچک استفاده می شود. بعد از اتمام فرآیند شکل دهی فشار داخلی تا حد صفر کاهش یافته، سنبه ها به موقعیت اولیه خود برگشته و قالب باز می شود و قطعه بیرون آورده می شود [7].

مزایای استفاده از هیدروفرمینگ لوله در مقایسه با روش های سنتی شکل دهی لوله شامل موارد زیر است [5]:

- کاهش وزن قطعه: به علت تولید قطعات یک تکه به جای قطعات مونتاژی و جوشکاری شده.
- کاهش هزینه مواد اولیه و ضایعات: به دلیل کاربری بالای استفاده از مواد اولیه و همچنین کم بودن ضایعات این فرآیند.

<sup>1</sup> Tube hydroforming

<sup>2</sup> Sheet hydroforming